



ROHDE & SCHWARZ

MÜNCHEN

Bilder

Figures

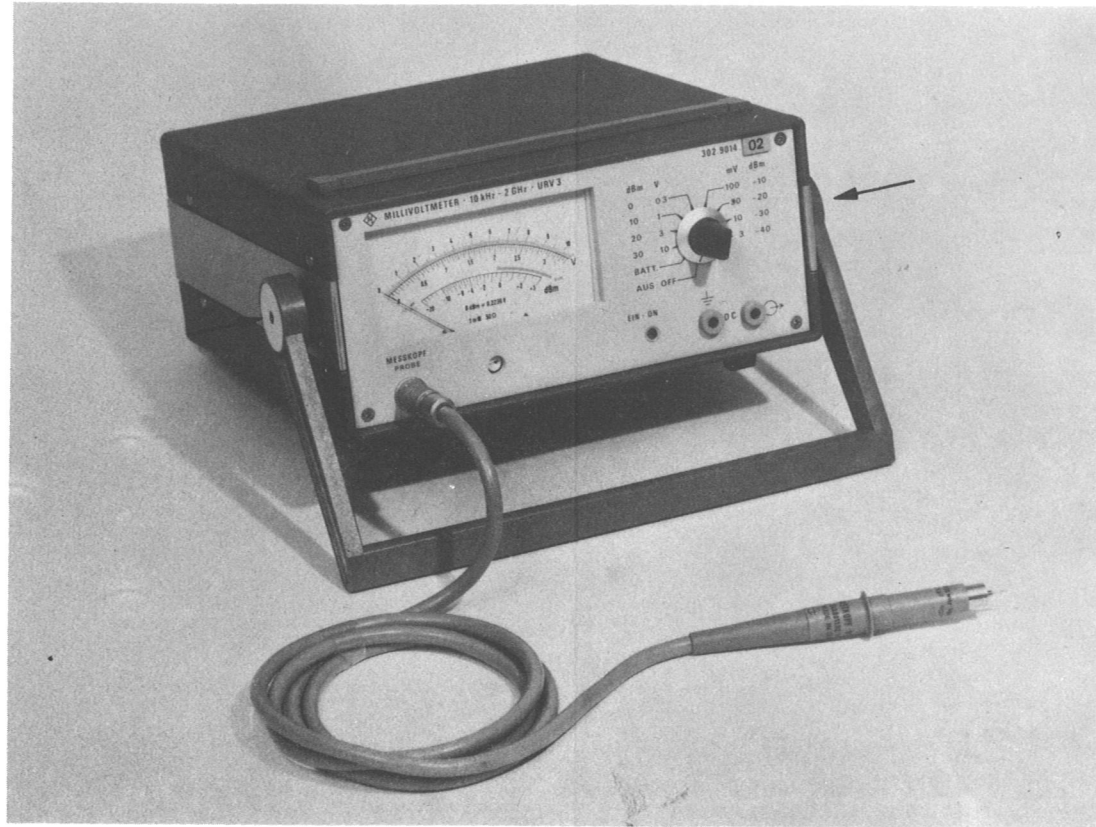


Bild 1 Gesamtansicht des URV 3 mit angeschlossenem Tastkopf
 Fig. 1 General view of URV 3 with probe

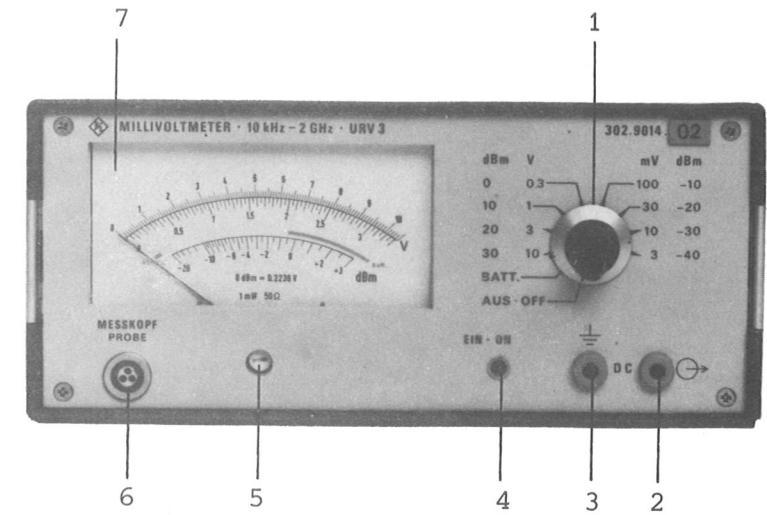


Bild 2 Frontansicht (Tragbügel nicht dargestellt)
 Fig. 2 Front view of URV 3 (carrying handle not shown)

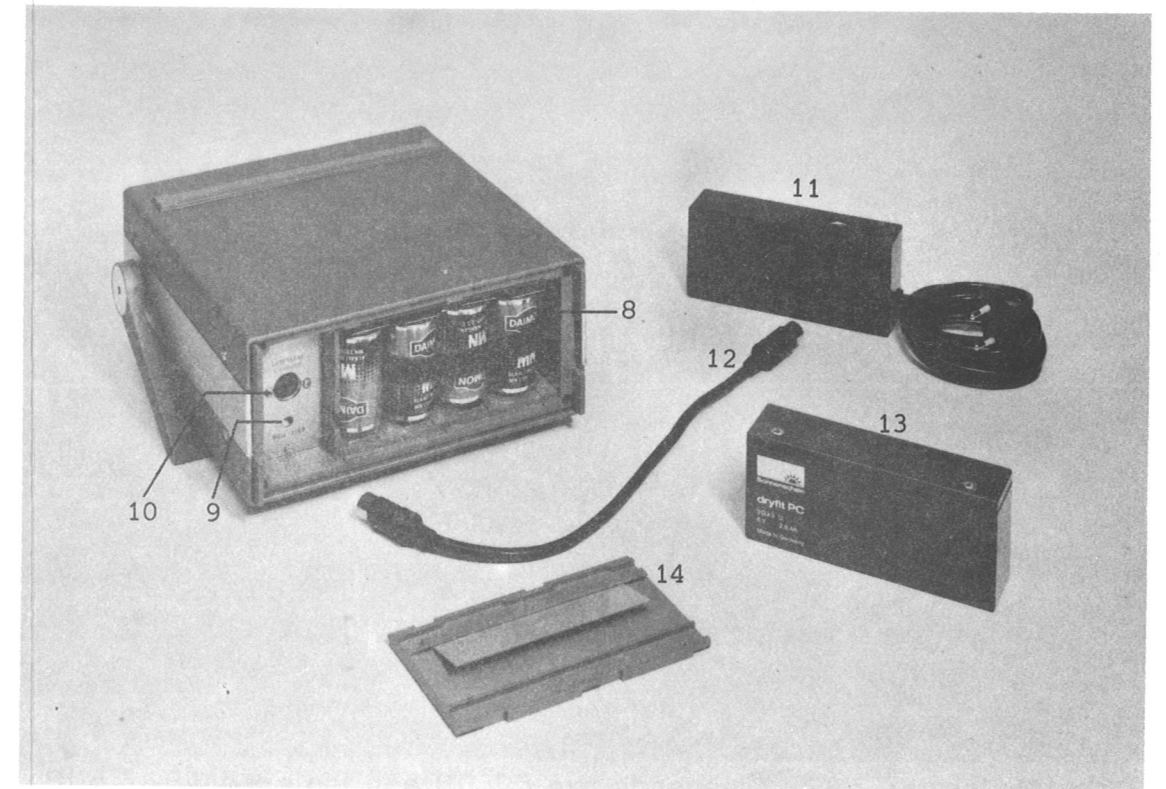


Bild 3 Rückansicht des URV 3 mit abgenommenem Batteriekasten-
 deckel, Netzgerät und Akkumulator
 Fig. 3 Rear view of URV 3 with cover of battery box removed,
 power supply and accumulator

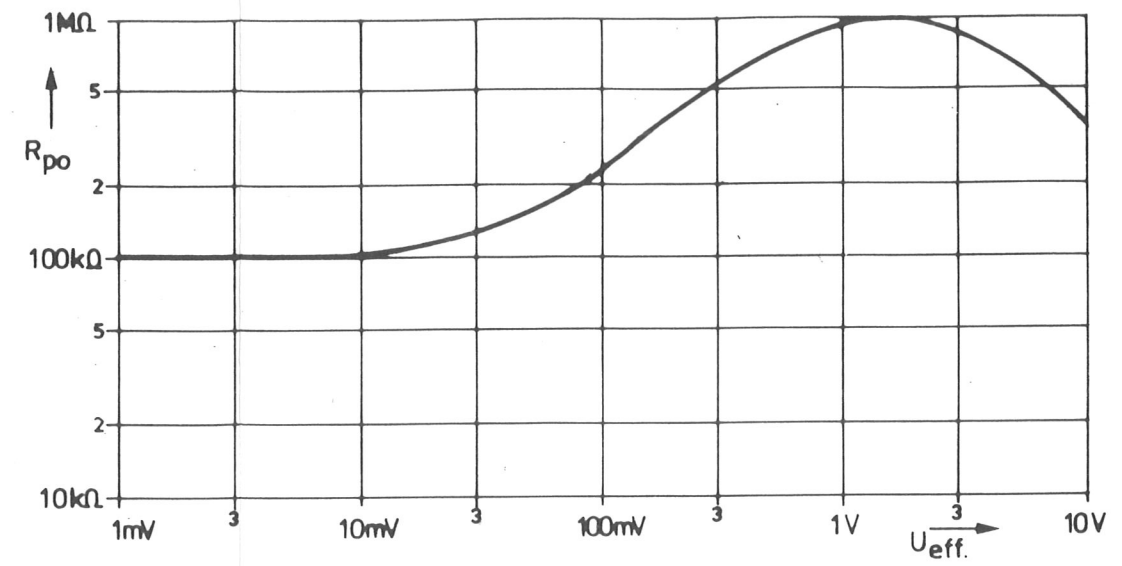


Bild 4 Eingangswiderstand R_{po} für $f < 3$ MHz, typische Abhängigkeit von der Meßspannung (Sinus)

Fig. 4 Input resistance R_{po} for $f < 3$ MHz as a typical function of the test voltage (sinewave)

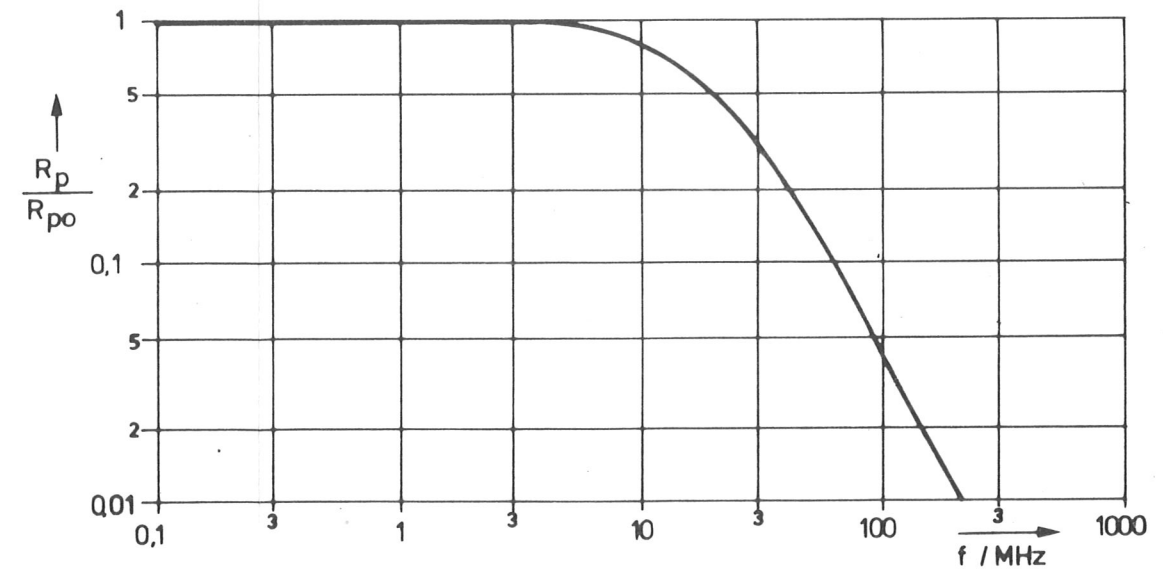


Bild 5 Typische Frequenzabhängigkeit des Eingangswiderstandes R_p bezogen auf den Eingangswiderstand R_{po} für tiefe Frequenzen

Fig. 5 Typical frequency function of the input resistance R_p relative to the input resistance R_{po} at low frequencies

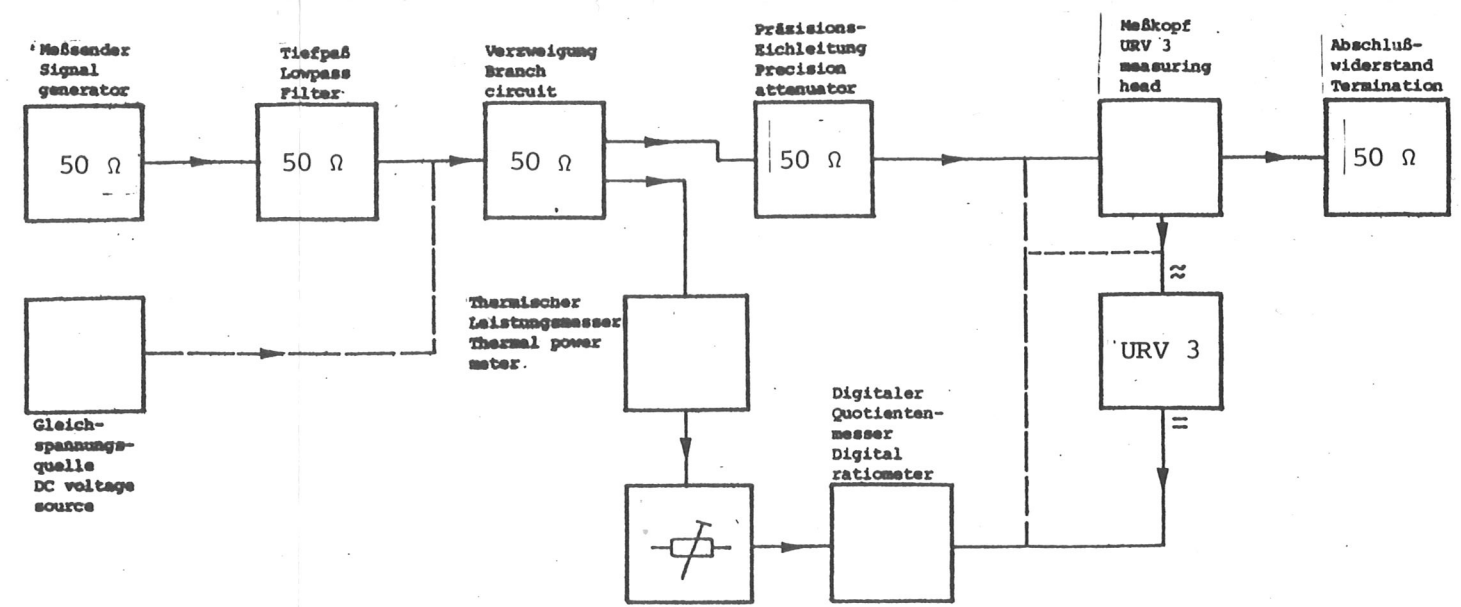


Bild 6 Meßaufbau zum Prüfen der Absolutwertkalibrierung für Meßspannungen bis 1V
 Fig. 6 Test setup for checking the absolute-value calibration for test voltages up to 1V

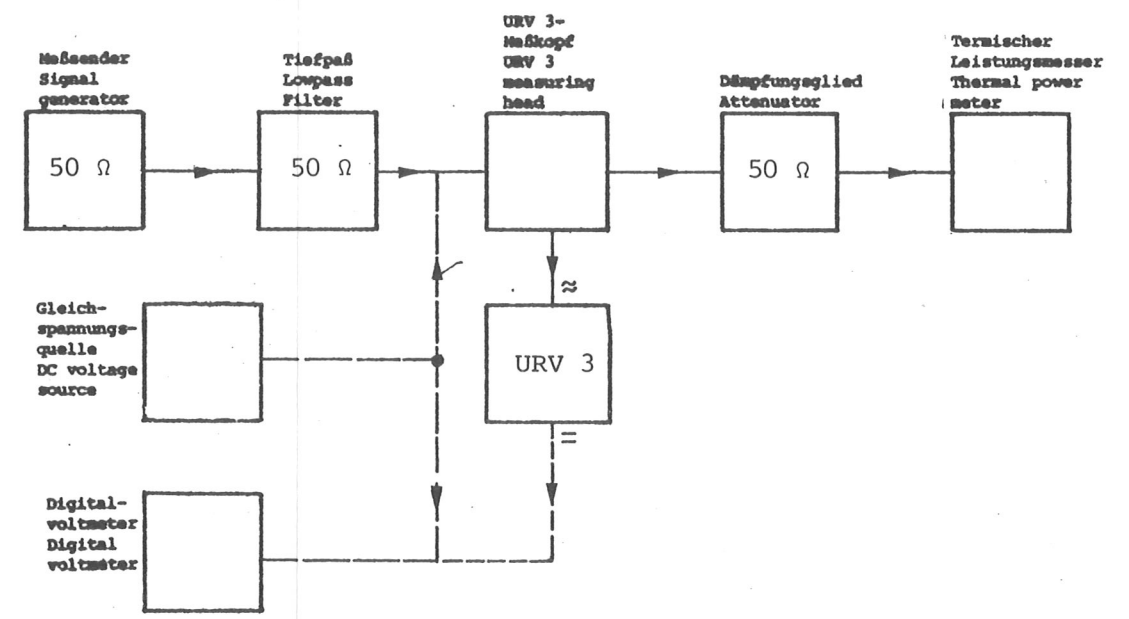


Bild 7 Meßaufbau zum Prüfen der Absolutwertkalibrierung für Meßspannungen über 1V bis 10V
 Fig. 7 Test setup for checking the absolute-value calibration for test voltages 1V to 10V

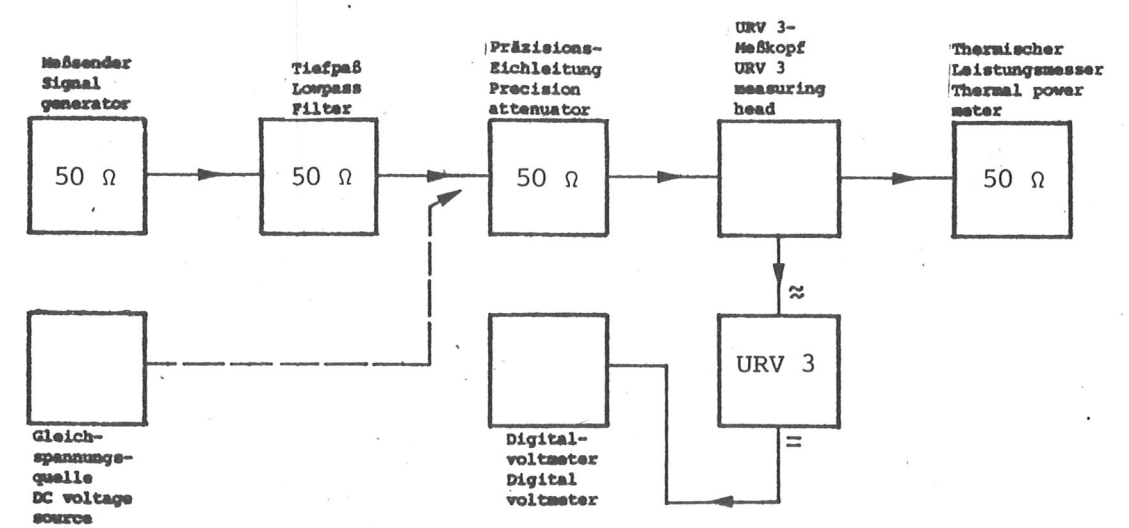


Bild 8 Meßaufbau für den Abgleich
 Fig. 8 Test setup for adjustments

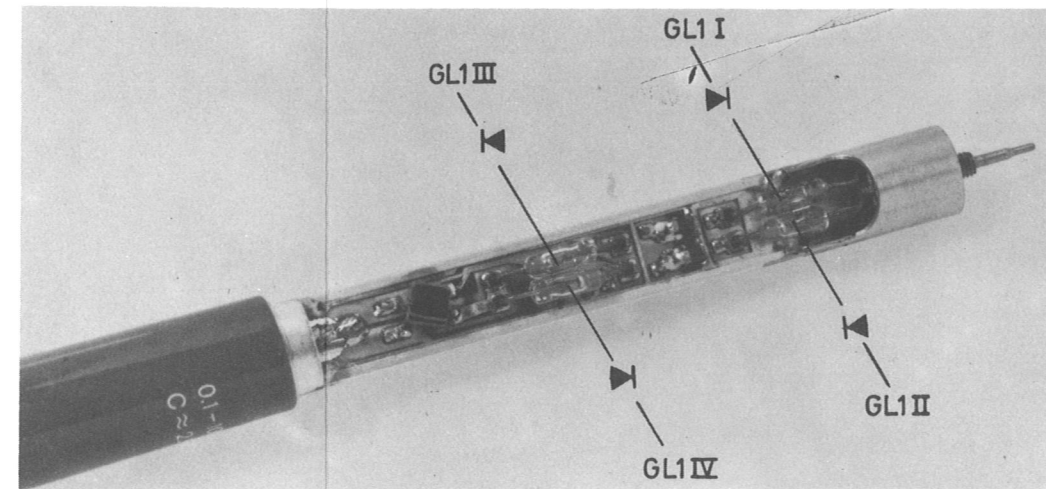


Bild 9 HF-Tastkopf; Lage der Dioden

Fig. 9 RF probe; location of diodes

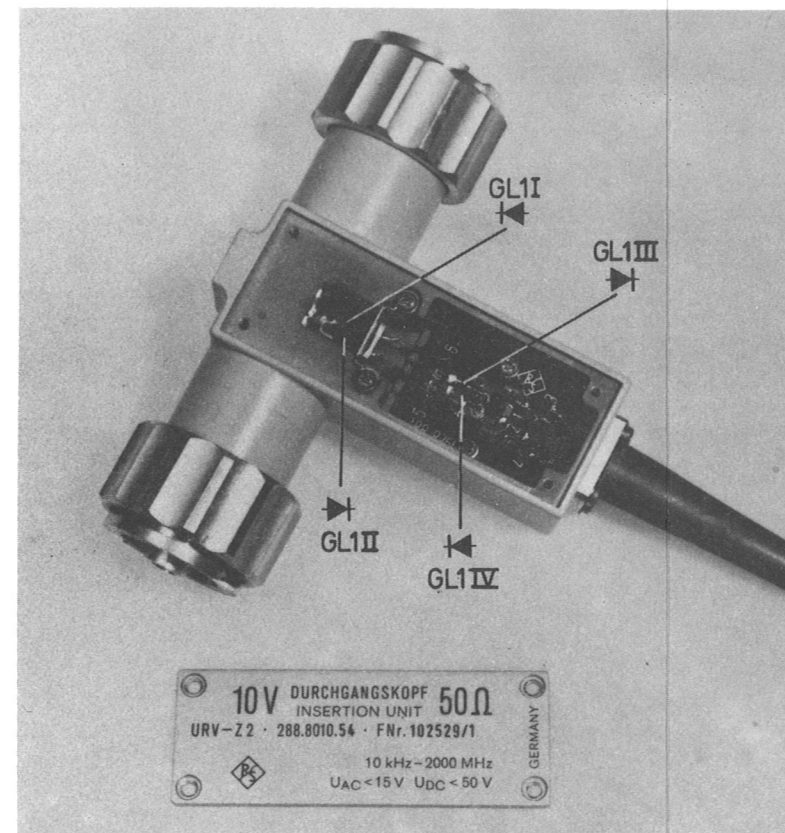
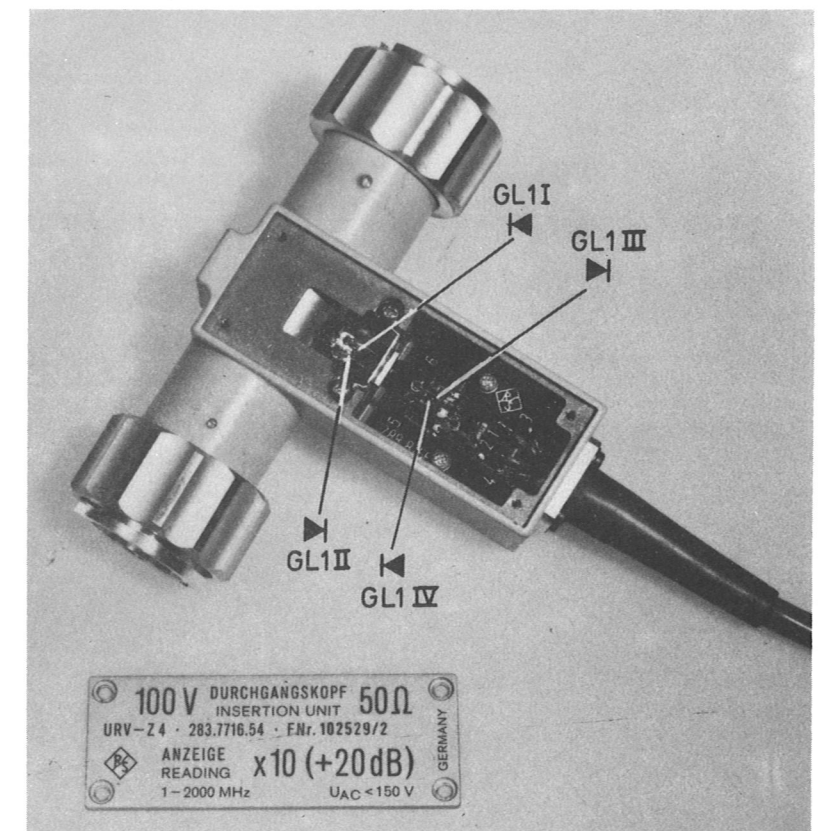


Bild 10 Durchgangsköpfe; Lage der Dioden

Fig. 10 Insertion units; location of diodes



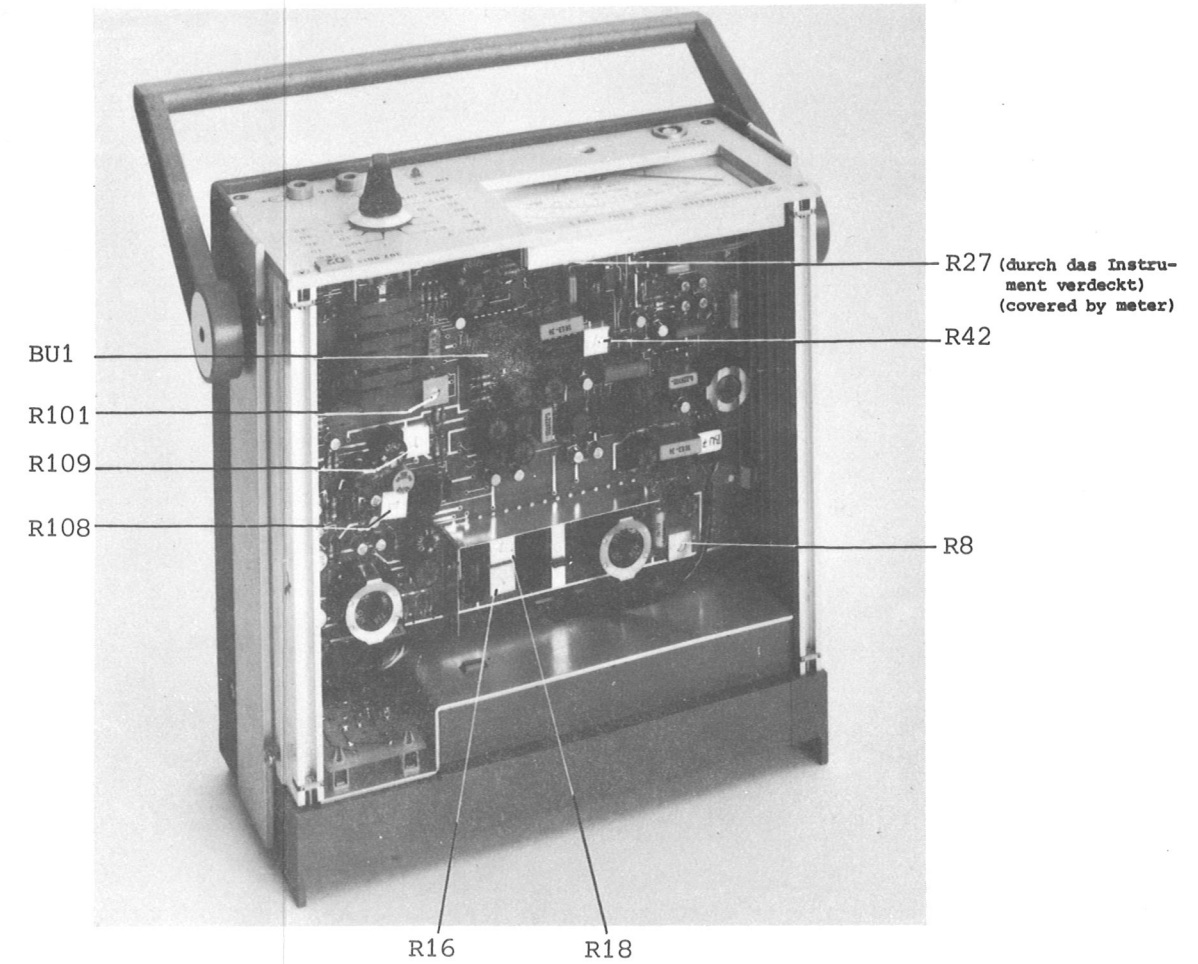


Bild 11 Geöffnetes Gerät, Ansicht von oben
 Fig. 11 URV 3 open and seen from above

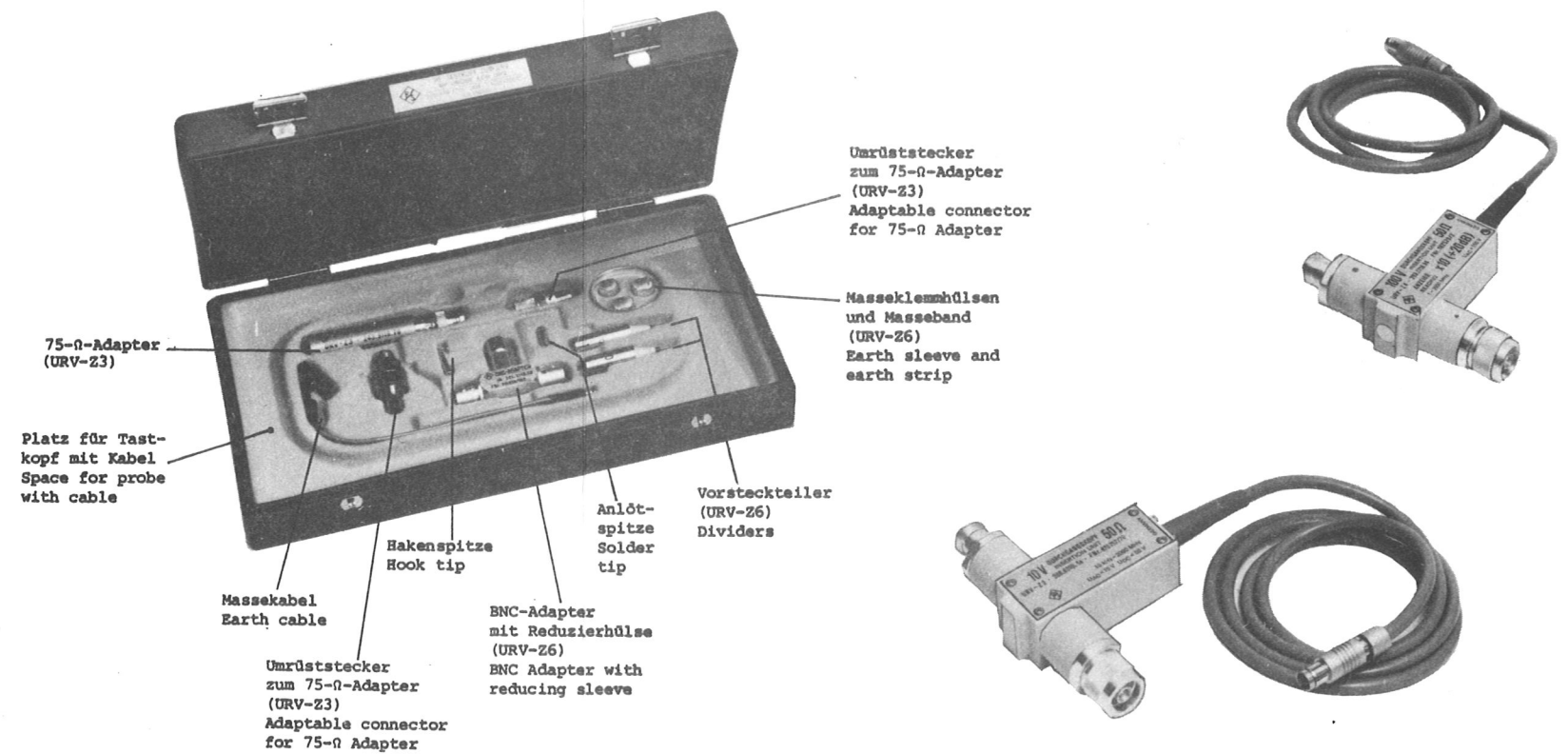


Bild 12 Zubehör und empfohlene Ergänzungen
 Fig. 12 Accessories supplied and recommended extras